

В.П. Сахно, д.т.н., проф.

В.М. Поляков, к.т.н., доц.

Р.М. Марчук, аспір.

П.О. Гуменюк, аспір.

Національний транспортний університет

## ПОРІВНЯЛЬНА ОЦІНКА МАНЕВРЕНОСТІ ТРИЛАНКОВИХ АВТОПОЇЗДІВ

*Проведеними дослідженнями встановлено, що при найбільш типовому повороті на 90° сідельно-причіпний автопоїзд, типу "B-double" і автопоїзд з підкатним візком "Dolly" задовольняють вимозі з величини габаритної смуги руху, проте на усталеній круговій траєкторії за обраних передаточних відношень приводів управління жоден з них не задовольняє вимогам DIRECTIVE 2002/7/EC. Із цього слідує, що для триланкових автопоїздів потрібен принципово другий привід управління, яким може бути подвійний привід управління.*

**Вступ.** Ефективну і стабільну роботу промисловості, сільського господарства, нормальні умови життя населення забезпечує складна і розгалужена транспортна система, особливу роль в якій займає автомобільний транспорт. З метою підвищення ефективності автоперевезень, скорочення витрати палива і токсичності відпрацьованих газів на одиницю вантажу, що перевозиться, з 1998 р. скандинавські країни Швеція і Фінляндія змінили вимоги до довжини і повної маси автопоїздів до 25,25 м і 60 т, зберігши при цьому вимоги Директиви 2002/7/ЕС [1] до осьових навантажень. Дозволена експлуатація трьох компонувальних схем автопоїздів. Перша – сідельно-причіпний автопоїзд, у якого до серійного напівпричепа причеплено двовісний причіп, зазвичай з центрально розташованими осями (рис. 1, а). Друга – автопоїзд, сформований з тривісного тягача+п'ятівісного причепа, виконаного на базі серійного тривісного напівпричепа на двовісному підкатному візу (рис. 1, б). Третя – автопоїзд типу "B-double", до складу якого входять два напівпричепа, перший з яких спеціальної конструкції, підсиленій для зчеплення із другим типовим напівпричепом (рис. 1, в). При цьому зберігається модульність конструкції рухомого складу [2].

Появу таких автопоїздів, корисний об'єм кузова яких складає біля 150 м<sup>3</sup>, очікувалась міжнародними перевізниками, але, на жаль, дорожнє і транспортне законодавства до цих пір не готові до цього ані в ЄС (окрім Швеції і Фінляндії), ані в країнах СНД.

Основу триланкових автопоїздів, що сьогодні знаходяться в експлуатації, складають автомобілі-тягачі компанії Scania, а також причіпна техніка компанії Krone – тривісні напівпричепи SD-27, дво- та тривісні причепи з наближеними осями ZZ-18 (ZZ-27), дво- та тривісні причепи з рознесеними осями з передньою поворотною віссю AZ-18 (AZ-27), двовісний підкатний візок «Dolly».

Окрім питання маневреності триланкових автопоїздів розглянуто в роботах [1–6], проте узагальнена характеристика показників маневреності таких автопоїздів на сьогодні відсутня.

**Метою роботи** є порівняльна характеристика маневреності сучасних триланкових автопоїздів різних компонувальних схем.

**Викладення основного матеріалу.** Аналіз компонувальних схем сучасних триланкових автопоїздів (рис. 1), які побудовані за модульним принципом, показує, що будь-яка компонувальна схема може бути зведена до схеми з напівпричепом на підкатному візу (у подальшому автопоїзд). Такий автопоїзд складається з автомобіля-тягача, підкатного візка (Dolly) і тривісного напівпричепа (рис. 1, б), який, з погляду кінематики, що визначає маневреність, трансформується у схему триланкового сідельно-причіпного автопоїзда (рис. 1, а), у якого напівпричіп опирається на сідельно-зчіпний пристрій тягача, а підкатний візок перетворюється в причіп; у схему "B-double" (рис. 1, в), в якій підкатний візок трансформується у напівпричіп; у схему з двома причепами, коли підкатний візок і напівпричіп трансформуються в причепи (сьогодні така схема майже не використовується із-за низьких показників стійкості руху).

Для забезпечення необхідних показників маневреності кожен елемент автопоїзда повинен вписуватись у коло з внутрішнім радіусом 5,3 м і зовнішнім – 12,5 м. Визначення дійсних радіусів повороту може бути здійснено як аналітичними, які базуються на математичних моделях, так і експериментальними методами.

При розробленні математичних моделей, через їх складність, доводиться вносити певні корективи – спрощення і припущення, які б незначно впливали на кінцевий результат (результати мали допустиму похибку), але й давали б можливість значно скоротити час і спростити складання самої моделі.

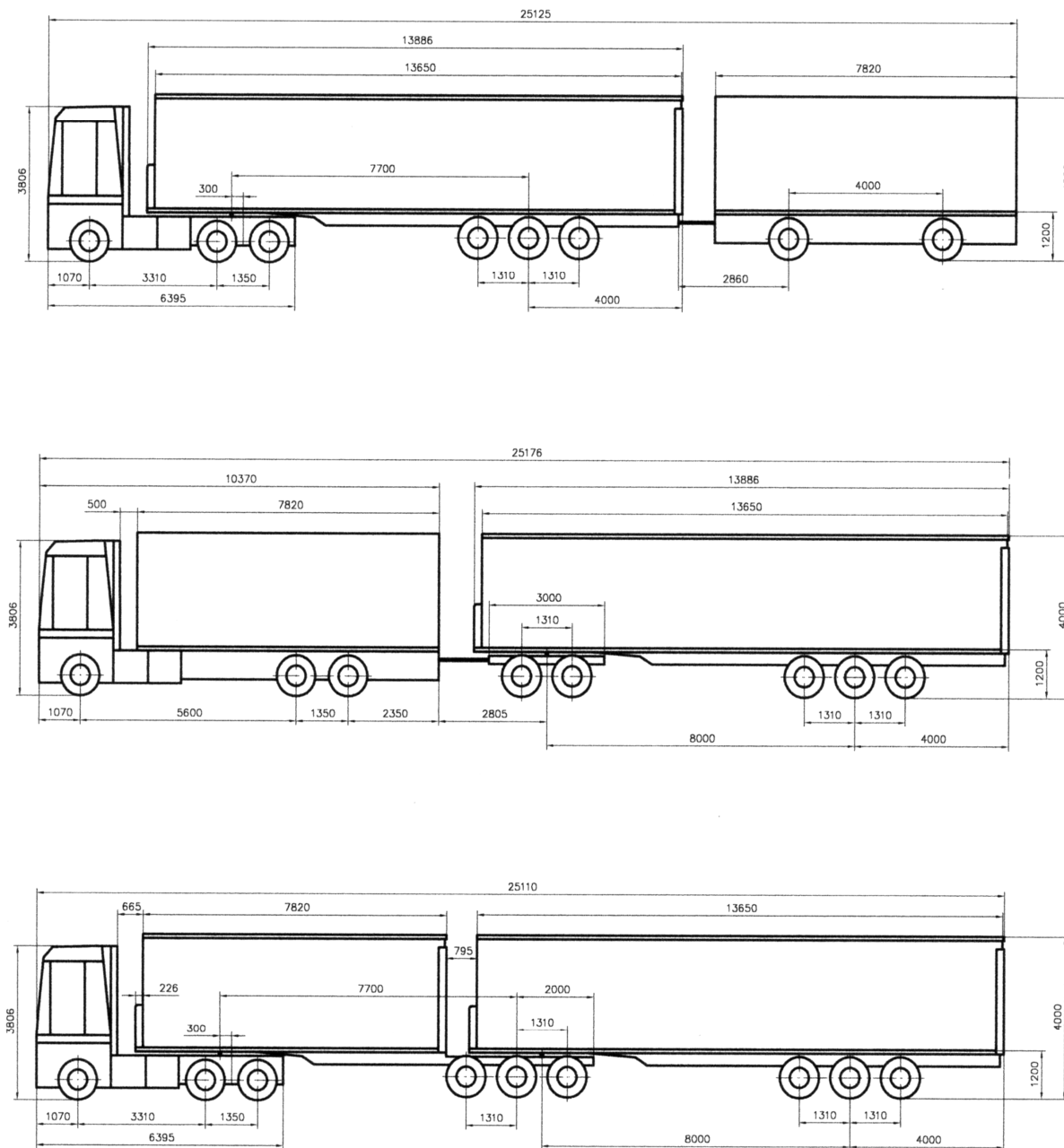


Рис. 1. Компонувальні схеми триланкових автопоїздів: а) сідельно-причіпний; б) сідельний з підкатним візком Dolly; в) автопоїзд типу “B-double”

Так, враховуючи прикладний характер методів аналізу, викладених нижче для визначення маневрових властивостей триланкових автопоїздів, і у нашій моделі прийнято ряд припущень та обмежень, щоб суттєво спростити моделі і зробити їх доступними для широкого практичного використання.

Відповідно до досліджень Я.Х. Закіна [3], Я.С. Фаробіна [4], науковців Національного транспортного університету [5–6], показники маневреності автопоїзда можна визначати за жорстких у бічному напрямку колесах. При цьому вважається, що опорна поверхня, по якій відбувається криволінійний рух автопоїзда, строго горизонтальна і має покращане покриття, яке не створює значного опору руху.

Елементарні кінематичні ланки, що належать до складу автопоїзда, розглядаються в подальшому як абсолютно жорсткі тіла, без врахування можливих внутрішніх деформацій пружних елементів, які належать до його складу, тому вертикальні переміщення центра мас ланок і нахил їх підесорних мас виключаються.

Рух елементарної кінематичної ланки, якщо про це не буде сказано особливо, вважається обмеженим неголономним зв'язком, тобто напрямок швидкостей всіх точок ходової осі ланки їй перпендикулярні [3]. Бокове відведення еластичних шин коліс і рух ланки вздовж її ходової осі вважається неможливим. Це важливе припущення призводить до того, що проекції поздовжньої осі ланки першого роду і діаметральної площини середнього наведеного колеса ланки другого роду на опорну поверхню завжди дотичні до траекторії головних їх точок.

Якщо відому або задану траекторію направляючої точки елементарної кінематичної ланки, можна будь-яким методом знайти траекторію головної точки, тобто середину ходової осі ланки, і, відповідно, положення елементарної кінематичної ланки буде визначеним [3].

Якщо ланка першого роду має двовісний візок, то за головну точку такої ланки приймається деяка точка, що лежить на поздовжній осі ланки між ходовими осями візка. Якщо в подальшому це не буде спеціально зазначено, то вважається, що головна точка ланки лежить точно посередині між ходовими осями.

Шарнірні з'єднання з вертикальною віссю елементарних кінематичних ланок автопоїздів дозволяють їм здійснювати безперешкодне переміщення в горизонтальній площині.

Криволінійний рух автопоїзда можна характеризувати основною траекторією автомобіля-тягача і траекторіями головних точок причіпних ланок. Основна траекторія складається з трьох ділянок: кругової траекторії і двох перехідних – вхідній і вихідній. Кругова з постійним радіусом, що визначає нормовані показники маневреності автопоїзда, залежить лише від геометричних параметрів автомобіля-тягача і напівпричепа або причепа. Форми перехідних траекторій залежать не тільки від геометричних, але і від кінематичних параметрів автомобіля-тягача: кутової швидкості повороту керованих коліс і поступальної швидкості руху автопоїзда на повороті [3]. Габаритна смуга криволінійного руху багатоланкового автопоїзда, на відміну від смуги прямолінійного руху, має складну форму, обмежену проекціями траекторій на горизонтальну площину зовнішнього, відносно центра повороту, крила автомобіля-тягача і задньої частини причепа чи напівпричепа. Габаритну смугу руху (ГСР) автопоїзда на повороті визначає головна траекторія автомобіля-тягача і зміщення траекторії причепа чи напівпричепа від основної траекторії до центра повороту, тобто при розгляданні питань кінематики повороту триланковий причіпний автопоїзд з некерованими причіпними ланками (підкатним візком і напівпричепом) можна звести до двовісного автомобіля-тягача, одновісного підкатного візка і одновісного напівпричепа.

Розглянуто рух першої пари ланок триланкового автопоїзда (рис. 2), що складається з двовісного автомобіля-тягача і одновісного підкатного візка (причепа), що має неповоротну ходову вісь і винесення  $C_0$  точки зчленення тягача з причепом  $O'_0$ , через що виникає кут  $\alpha_0$ . Поздовжні осі автомобіля-тягача і причепа повернуті по відношенню до вихідного прямолінійного положення вздовж осі  $x$  відповідно на кути  $\psi_0$  і  $\psi_1$ .

З трикутника  $aO'_0b$ , маємо  $\gamma_1 = \psi_0 - \psi_1$ . Диференціювання цього рівняння для першого причепа дає рівняння [3]:

$$\frac{d\gamma_1}{dt} = \frac{d\psi_0}{dt} - \frac{d\psi_1}{dt} = \omega_0 - \omega_1. \quad (1)$$

Рівняння (1) для напівпричепа записано:

$$\frac{d\gamma_2}{dt} = \omega_1 - \omega_2, \quad (2)$$

де  $\gamma_2$  – кут складання між підкатним візком і напівпричепом;  $\omega_1$  і  $\omega_2$  – абсолютні кутові швидкості повороту підкатного візка і напівпричепа.

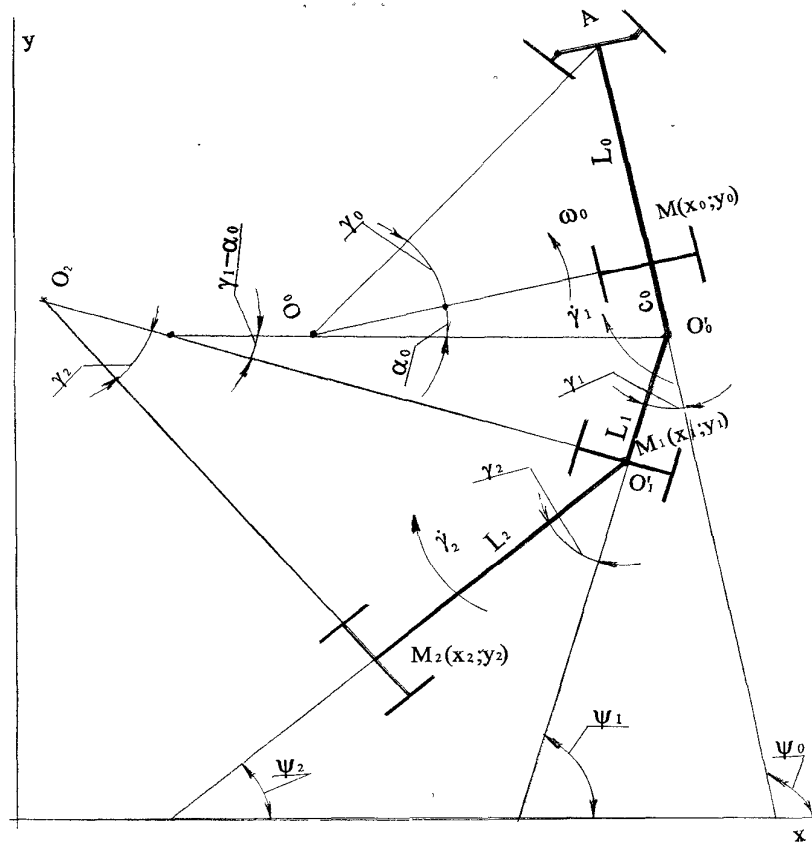


Рис. 2. Схема триланкового автопоїзда на повороті

Рух триланкового причіпного автопоїзда описано системою диференційних рівнянь типу (2) [3]:

$$\begin{aligned} \frac{d\gamma_1}{dt} &= \omega_0 - \omega_1, \\ \frac{d\gamma_2}{dt} &= \omega_1 - \omega_2. \end{aligned} \quad (3)$$

Записана система рівнянь (3) дає можливість отримати значення кутів складання, залежно від конструктивно-геометричних факторів і режиму руху автопоїзда. Для цього необхідно розгорнути рівняння (3) і визначити співвідношення  $\overline{O_0O'_0}/\overline{O_1O'_0}$  для першої пари автомобіль+тягач+підкатний візок і другої пари підкатний візок+напівпричіп  $\overline{O_1O'_1}/\overline{O_2O'_1}$ .

Згідно зі схемою криволінійного руху автопоїзда (рис. 2), записано:

$$\overline{O_0O'_0} = \frac{O_0M}{\cos(\alpha_0)}. \quad (4)$$

Але з трикутника  $O_0MA$  отримано вираз:

$$\frac{L_0}{O_0M} = \operatorname{tg}(\gamma_0) \Rightarrow O_0M = \frac{L_0}{\operatorname{tg}(\gamma_0)}, \quad (5)$$

$$\overline{O_0O'_0} = \frac{L_0}{\operatorname{tg}(\gamma_0) \cdot \cos(\alpha_0)}. \quad (6)$$

Тоді з трикутника  $O_1O'_0M_1$  отримано:

$$\overline{O_1O'_1} = \frac{L_1}{\sin(\gamma_1 - \alpha_0)}, \quad (7)$$

$$\frac{\overline{O_1M_1}}{\sin(\pi/2 - \gamma_1 + \alpha_0)} = \frac{L_1}{\sin(\gamma_1 - \alpha_0)}, \quad \overline{O_1M_1} = \frac{L_1 \cdot \cos(\gamma_1 - \alpha_0)}{\sin(\gamma_1 - \alpha_0)}. \quad (8)$$

Згідно з отриманими рівняннями, невідомими залишаються ще значення вектора  $O_1O'_1$ . Його значення знайдено з трикутника  $O_1O'_1M_1$ :

$$\overline{O_1O'_1} = \frac{\overline{O_1M_1}}{\cos \alpha_1}. \quad (9)$$

Після підстановки виразу (8) у (9), отримаємо:

$$\overline{O_1O'_1} = \frac{L_1 \cdot \cos(\gamma_1 - \alpha_0)}{\sin(\gamma_1 - \alpha_0)}. \quad (10)$$

Після визначення вектора  $\overline{I_1I'_1}$  знайдено вектор  $\overline{O_2O'_1}$  (рис. 2). З трикутника  $O_2M_2O'_1$  отримаємо:

$$\overline{O_2O'_1} = \frac{L_2}{\sin \gamma_2}. \quad (11)$$

Тепер, взявши до уваги (1), можливо переписати систему рівнянь (2) у розгорнутому вигляді:

$$\frac{d\gamma_1}{dt} = \omega_0 \left( 1 - \frac{L_0}{\operatorname{tg}(\gamma_0) \cdot \cos(\alpha_0)} \cdot \frac{\sin(\gamma_1 - \alpha_0)}{L_1} \right), \quad (12)$$

$$\frac{d\gamma_2}{dt} = \omega_1 \left( 1 - \frac{L_1 \cdot \cos(\gamma_1 - \alpha_0)}{\sin(\gamma_1 - \alpha_0)} \cdot \frac{\sin(\gamma_2)}{L_2} \right). \quad (13)$$

Отримана система рівнянь описує залежності кутів складання триланкового причіпного автопоїзда для різних стадій його повороту. Для її практичного застосування необхідно виконати ще ряд перетворень.

Отже, якщо прийняти, що точка  $O'_0$  рухається зі сталою швидкістю  $V_0$ , то, відповідно, всі точки автомобіля-тягача обертатимуться навколо миттєвого центра швидкостей  $O_0$  з кутовою швидкістю  $\omega_0$ , яка, в свою чергу, може бути визначена:

$$\omega_0 = \frac{V_0}{O_0 M} = \frac{V_0 \cdot \operatorname{tg}(\gamma_0)}{L_0}. \quad (14)$$

Тоді перша причіпна ланка – підкатний візок обертатиметься навколо миттєвого центра швидкостей  $O_1$  з кутовою швидкістю  $\omega_1$ :

$$\omega_1 = \frac{\omega_0 \cdot \overline{O_0 O_0}}{\overline{O_1 O'_0}} = \frac{V_0 \cdot \sin(\gamma_1 - \alpha_0)}{L_1 \cdot \cos(\alpha_0)}. \quad (15)$$

Тепер систему диференційних рівнянь можна представити у вигляді:

$$\frac{d\gamma_1}{dt} = \frac{V_0 \cdot \operatorname{tg}(\gamma_0)}{L_0} \cdot \left( 1 - \frac{L_0}{\operatorname{tg}(\gamma_0) \cdot \cos(\alpha_0)} \cdot \frac{\sin(\gamma_1 - \alpha_0)}{L_1} \right), \quad (16)$$

$$\frac{d\gamma_2}{dt} = \frac{V_0 \cdot \sin(\gamma_1 - \alpha_0)}{L_1 \cdot \cos(\alpha_0)} \cdot \left( 1 - \frac{L_1 \cdot \cos(\gamma_1 - \alpha_0)}{\sin(\gamma_1 - \alpha_0)} \cdot \frac{\sin(\gamma_2)}{L_2} \right). \quad (17)$$

Зміна кутів складання у часі  $t$  не зручною для використання при русі автопоїзда по криволінійній траєкторії.

Відомо [3], що  $\gamma_0 = K_{\Pi} \cdot V_0 \cdot t$ . Тоді, якщо швидкість залишається незмінною,  $d\gamma_0 = K_{\Pi} \cdot V_0 \cdot dt$ . Звідси отримано:

$$\frac{d\gamma_1}{d\gamma_0} = \frac{\operatorname{tg}(\gamma_0)}{K_{\Pi} \cdot L_0} \cdot \left( 1 - \frac{L_0}{\operatorname{tg}(\gamma_0) \cdot \cos(\alpha_0)} \cdot \frac{\sin(\gamma_1 - \alpha_0)}{L_1} \right), \quad (18)$$

$$\frac{d\gamma_2}{d\gamma_0} = \frac{\sin(\gamma_1 - \alpha_0)}{K_{\Pi} \cdot L_1 \cdot \cos(\alpha_0)} \cdot \left( 1 - \frac{L_1 \cdot \cos(\gamma_1 - \alpha_0)}{\sin(\gamma_1 - \alpha_0)} \cdot \frac{\sin(\gamma_2)}{L_2} \right). \quad (19)$$

Дані диференціальні рівняння у загальному вигляді не інтегруються. Їх розв'язок отримано за допомогою програмного забезпечення Mathcad. На рисунку 3 як приклад наведено результати розрахунків кутів складання автопоїздів, що розглядаються:

- автопоїзд № 1: автомобіль-тягач Scania+причіп на підкатному візку Dolly;
- автопоїзд № 2: автомобіль-тягач Scania+два напівпричепа (B-double);
- автопоїзд № 3: автомобіль-тягач Scania+напівпричіп+причіп;
- автопоїзд № 4: автомобіль-тягач Scania+два причепа з наближеними осями.

Аналіз результатів розрахунків показав:

- поворот усіх елементарних кінематичних ланок здійснюється на першій стадії послідовно, причому ланка, що має більшу базу, забігає більш інтенсивно у внутрішній бік повороту, збільшуючи перший кут складання. Зміна другого кута складання також залежить від бази другої ланки. Тому найбільші значення

кутів складання притаманні автопоїзду № 2 (перший кут складання) і № 4 (другий кут). Аналогічно змінюються і швидкості обертання ланок триланкового автопоїзда незалежно від режиму його повороту;

- після закінчення першої стадії повороту автопоїзд переходить на колову траекторію при цьому кут повороту керованих коліс тягача і кути складання залишаються незмінними;

- при виході з колової траекторії кут повороту керованих коліс тягача і кути складання змінюються за тими ж законами, що і при вході в поворот, проте у протилежний бік;

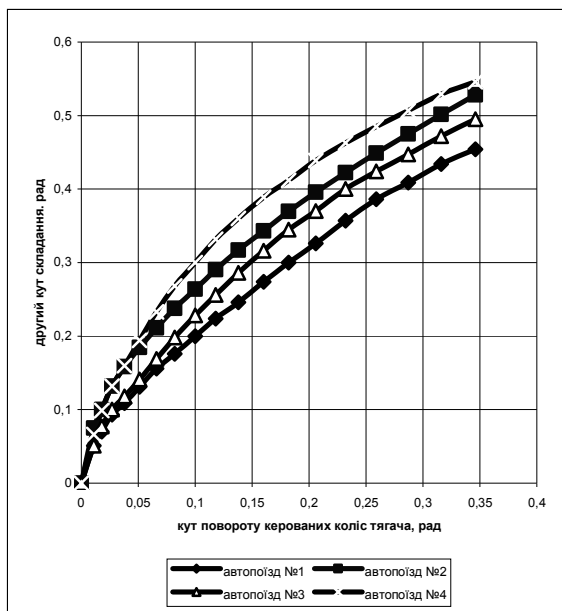
- при виході з повороту тягач рухається вже прямолінійною траекторією, а причіпні ланки – ще переходінми траекторіями, зменшуючи кути складання. На шляху автопоїзда близько 15 і 25 м відповідно перші і другі кути складання практично стають однаковими для всіх автопоїздів;

- кути складання суттєво залежать від режиму криволінійного руху автопоїзда. Зі зменшенням режимного коефіцієнта повороту зменшуються і кути складання ланок автопоїзда  $\gamma_1$  і  $\gamma_2$  при одному і тому ж значенні наведеного кута повороту  $\gamma_0$  керованих коліс автомобіля-тягача, так як автопоїзд займає при цьому менш “складене” положення;

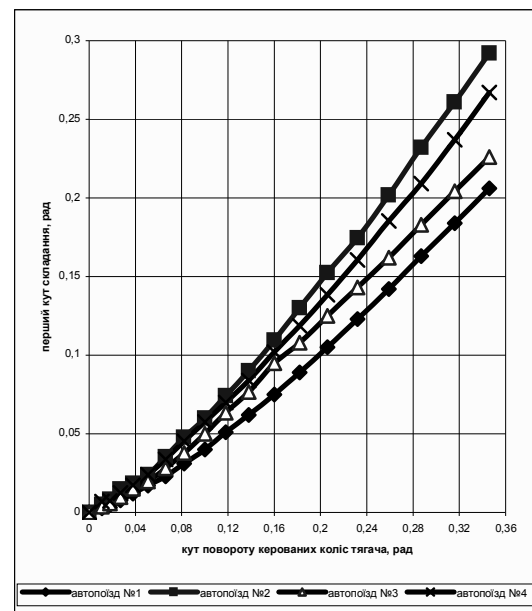
- при односторонньому повороті траекторії другої причіпної ланки по відношенню до першої зміщуються до центра повороту, збільшуючи при цьому габаритну смугу руху (рис. 4);

- за знайденими кутами складання ланок визначена габаритна смуга руху (ГСР) автопоїздів, що розглядаються (табл. 1), з якої слідує, що триланкові автопоїзди з некерованими причіпними ланками не забезпечують вимог нормативних документів.

**Висновки.** Проведеними дослідженнями встановлено, що при найбільш типовому повороті на  $90^\circ$  автопоїзд сідельно-причіпний, типу “B-double” і на підкатному візку «Dolly» (рис. 4), задовільняють вимозі по габаритній смузі руху, проте на усталеній круговій траекторії за обраних передаточних відношень приводів управління жоден з них не задовільняє вимогам DIRECTIVE 2002/7/ЕС. Із цього слідує, що для триланкових автопоїздів потрібен принципово інший привід управління, яким може бути подвійний привід управління.



a)



б)

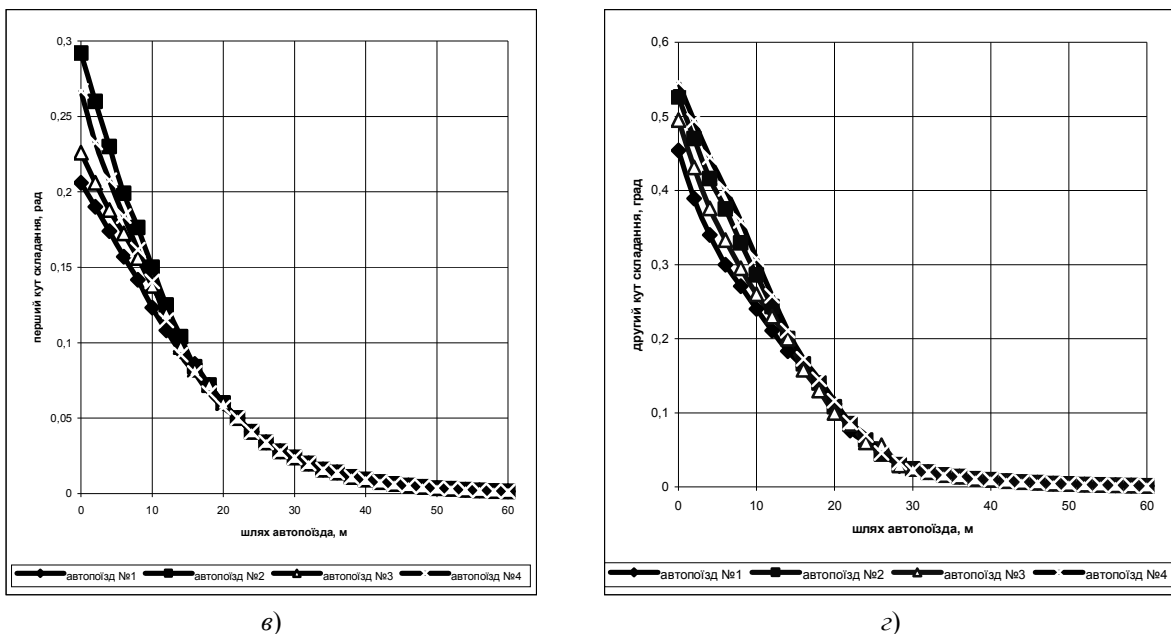


Рис. 3. Зміна кутів складання ланок при вході автопоїзда в поворот (а, б)  
і виході з повороту (в, г)

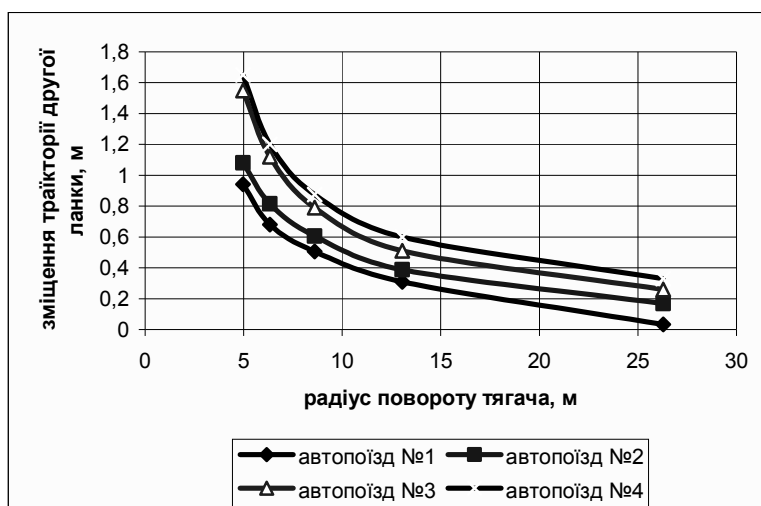


Рис. 4. Зміщення траєкторії другої причіпної ланки  
автопоїзда щодо траєкторії тягача

Таблиця 1  
Результати розрахунку величини габаритної смуги руху триланкових автопоїздів  
різних компонувальних схем

Тип автопоїзда	Параметр повороту		
	$R_{\theta_2}$ , м	$R_{z_2}$ , м	$B_{z_2}$ , м
автопоїзд № 1	5,3	13,359	8,059
автопоїзд № 2	5,3	14,871	9,571
автопоїзд № 3	5,3	14,452	9,152
автопоїзд № 4	5,3	14,293	8,993

#### Список використаної літератури:

1. DIRECTIVE 2002/7/EC of European parliament and of the council of 18 February 2002 amending Council Directive 96/53/EC of 25 July 1996 laying down for certain road vehicles circulating within the Community the maximum authorized dimensions in national and international traffic and the maximum authorized weights in international traffic. // Official Journal of the European Communities. – 2002. – No L67/47–49.
2. Шкварко К.В. Довгомірні триланкові автопоїзди – новий етап розвитку автомобільних перевезень в Україні на шляху до Європи / К.В. Шкварко // Системні методи керування, технологія та організація виробництва, ремонту і експлуатації автомобілів : наук. журнал. – К. : НТУ, ТАУ, 2003. – Вип. 17. – С. 146–152.
3. Закин Я.Х. Маневренность автомобиля и автопоезда / Я.Х. Закин. – М. : Транспорт, 1986. – 137 с.
4. Трехзвенные автопоезда / Я.Е. Фаробин, А.М. Якобашвили, А.М. Иванов и др. – Машиностроение, 1993. – 224 с.
5. Маневреність та безпека руху триланкових автопоїздів різних компонувальних схем / В.П. Сахно, П.О. Гуменюк, Р.М. Марчук та ін. // Вісник Донецької академії автомобільного транспорту : наук. журнал. – 2011. – Вип. 4.
6. Маневреність триланкових автопоїздів типу «B-Double» / В.П. Сахно, Р.М. Глінчук, Р.М. Марчук, В.П. Онищук // Проблеми автомобільного транспорту : зб. наук. праць. – К. : НТУ, 2010. – Вип. 7. – С. 187–198.

САХНО Володимир Прохорович – доктор технічних наук, професор, завідувач кафедри «Автомобілі» Національного транспортного університету.

Наукові інтереси:

- проблеми покращання експлуатаційних властивостей автопоїздів.

Тел.: 280–42–52.

E-mail: [sakhno@ntu.edu.ua](mailto:sakhno@ntu.edu.ua)

ПОЛЯКОВ Віктор Михайлович – кандидат технічних наук, доцент кафедри «Автомобілі» Національного транспортного університету.

Наукові інтереси:

- проблеми покращання експлуатаційних властивостей автопоїздів.

Тел.: 280–59–93, 280–42–52.

E-mail: [poljakov\\_2006@ukr.net](mailto:poljakov_2006@ukr.net)

МАРЧУК Роман Михайлович – аспірант кафедри «Автомобілі» Національного транспортного університету.

Наукові інтереси:

- проблеми покращання експлуатаційних властивостей автопоїздів.

Тел.: 280–42–52.

ГУМЕНЮК Павло Олександрович – аспірант кафедри «Автомобілі» Національного транспортного університету.

Наукові інтереси:

- проблеми покращання експлуатаційних властивостей автопоїздів.

Тел.: 280–42–52.

Стаття надійшла до редакції 03.09.2012

**Сахно В.П., Поляков В.М., Марчук Р.М., Гуменюк П.О.** Порівняльна оцінка маневреності триланкових автопоїздів

**Сахно В.П., Поляков В.М., Марчук Р.М., Гуменюк П.А.** Сравнительная оценка маневренности трехзвенных автопоездов

**Sakhno V.P., Poljakov V.M., Marchuk R.M., Gumenyuk P.A.** Comparative estimation of maneuverability three-links of lorry convoys

УДК 629.113

**Сравнительная оценка маневренности трехзвенных автопоездов / В.П. Сахно, В.М. Поляков, Р.М. Марчук, П.А. Гуменюк**

Проведенными исследованиями установлено, что при наиболее типичном повороте на  $90^0$  седельно-прицепной автопоезд, автопоезд типа "B-double" и автопоезд на подкатной тележке "Dolly" удовлетворяют требованиям по габаритной полосе движения, однако на круговой траектории при выбранных передаточных отношениях приводов управления ни один из них не удовлетворяет требованиям DIRECTIVE 2002/7/ЕС. Из этого следует, что для трехзвенных автопоездов необходим принципиально другой привод управления.

УДК 629.113

**Comparative estimation of maneuverability three-links of lorry convoys / V.P. Sakhno, V.M. Poljakov, R.M. Marchuk, P.A. Gumenyuk**

By the lead{the carried out} researches it is established, that at the most typical turn on  $90^0$  saddle-hook-on lorry convoy, the lorry convoy such as "B-double" and the lorry convoy on carriage "Dolly" meet the requirements on a dimensional lane, however on a circular trajectory at the chosen transfer relations of drives of management any of them does not meet the requirements DIRECTIVE 2002/7/EC. This implies, that for three-links lorry convoys other drive of management is necessary essentially.